

$$\text{状态方程: } x_{k+1} = F_k x_k + B_k u(\lambda_k) + G_k w_k \quad \text{观测模型: } z_k = \begin{bmatrix} d_k \\ \varphi_k \end{bmatrix} = \begin{bmatrix} (X(k)^2 + Y(k)^2 + Z(k)^2)^{1/2} \\ \arctan \frac{Y(k)}{X(k)} \end{bmatrix} + v_k$$

$$\text{其中 } \omega \sim N(0, Q), \quad v \sim N(0, R)。 \quad x_k = \begin{bmatrix} X(k) \\ Y(k) \\ Z(k) \\ Xv(k) \\ Yv(k) \end{bmatrix} \quad X(k)、Y(k)、Z(k) \text{ 表示采样点 } k \text{ 处, 跟踪}$$

目标 X、Y、Z 轴的坐标; $Xv(k)$ 、 $Yv(k)$ 表示采样点 k 处, 跟踪目标 X、Y 轴方向的速度分量。对非线性观测方程线性化处理, 求雅可比矩阵得

$$H_k = \begin{bmatrix} \frac{X(k)}{\sqrt{X(k)^2 + Y(k)^2 + Z(k)^2}} & \frac{Y(k)}{\sqrt{X(k)^2 + Y(k)^2 + Z(k)^2}} & \frac{Z(k)}{\sqrt{X(k)^2 + Y(k)^2 + Z(k)^2}} & 0 & 0 \\ \frac{-Y(k)}{X(k)^2 + Y(k)^2} & \frac{X(k)}{X(k)^2 + Y(k)^2} & 0 & 0 & 0 \end{bmatrix}$$

$$u(\lambda_k) \text{ 存在三种状态, 表示直行、左转、右转, 分别对应三个驱动矩阵 } \begin{bmatrix} 0 \\ 0 \end{bmatrix}, \begin{bmatrix} 10 \\ 0 \end{bmatrix}, \begin{bmatrix} 0 \\ 10 \end{bmatrix}。$$

采用扩展卡尔曼滤波算法对目标进行追踪。

情况一 ($u(\lambda_k)$ 已知):

$$\text{设置 } x_1 = [300 \quad 400 \quad 100 \quad 50 \quad 60]^T \quad z_1 = \begin{bmatrix} d_1 \\ \varphi_1 \end{bmatrix} = \begin{bmatrix} (X(1)^2 + Y(1)^2 + Z(1)^2)^{1/2} \\ \arctan \frac{Y(1)}{X(1)} \end{bmatrix} + v_1$$

$$ex_1 = [250 \quad 350 \quad 90 \quad 40 \quad 60]^T \quad (ex_k \text{ 为滤波器的状态}) \quad \text{采样周期 } 0.1s, \text{ 时长 } 10s。$$

$$u(\lambda_k) \text{ 均为 } \begin{bmatrix} 10 \\ 0 \end{bmatrix} \quad P_1 = 0.1 * eye(5) \quad Q_k = 0.3 * eye(3) \quad R_k = 0.1 * eye(2)$$

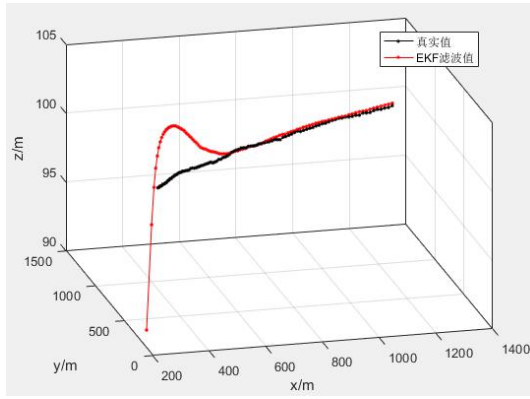
Measurement update:

Time update:

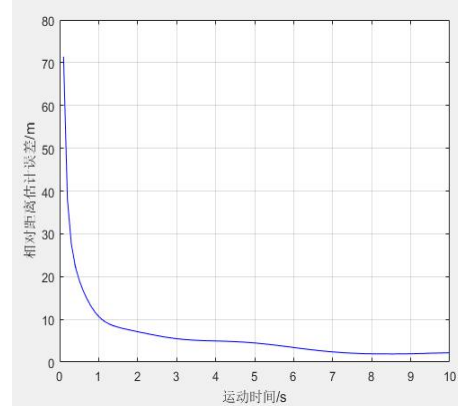
$$\begin{aligned} ex_{k|k} &= ex_{k|k-1} + L_k (z_k - H_k ex_{k|k-1}) \\ L_k &= P_{k|k-1} H_k^T (H_k^T P_{k|k-1} H_k + R_k)^{-1} \\ P_{k|k} &= P_{k|k-1} - L_k H_k^T P_{k|k-1} \end{aligned}$$

$$\begin{aligned} ex_{k+1|k} &= F_k ex_{k|k} + B_k u(\lambda_k) \\ P_{k+1|k} &= F_k P_{k|k} F_k^T + G_k Q_k G_k^T \end{aligned}$$

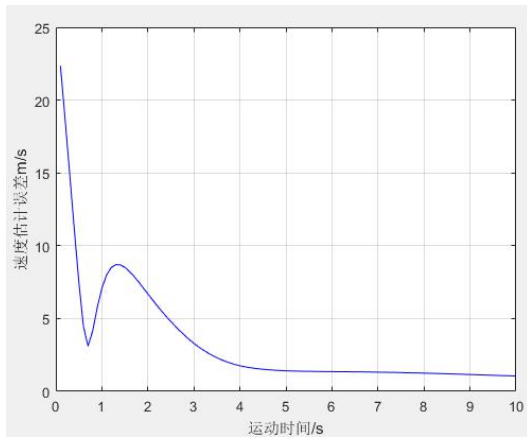
根据 Measurement update 和 Time update 生产滤波后的跟踪轨迹。进行 1000 次蒙特卡洛仿真得到得到某次目标轨迹跟踪图 (图一)、位置偏差图 (图二)、速度偏差图 (图三)。由图一得, 滤波估计状态较好地跟踪了目标; 从图二、三发现, 位置、速度偏差都得到显著减小, 并保持在一定较小的范围内。



图一 某次目标轨迹跟踪图



图二 位置偏差图

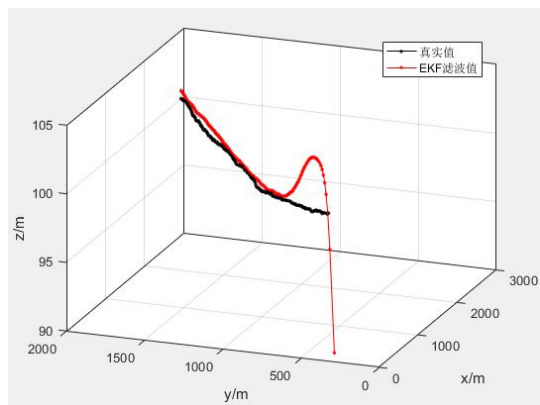


图三 速度偏差图

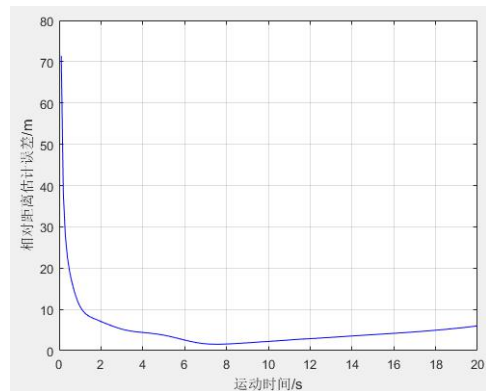
情况二 ($u(\lambda_k)$ 未知) :

λ_k 为三状态的马尔科夫链，传递概率矩阵为 P 。设置 $Q_k \subseteq R^3$ ， $Q_k = [\text{直行概率}, \text{左转概率}, \text{右转概率} | 1:k-1 \text{时刻的量测}]$ ，以及 1000 个粒子分布于 Q_1 点周围，用 $P\text{Center}_k \subseteq R^3$ 保存中心粒子点的数据。根据状态转移方程 $Q_{k+1} = Q_k P$ ，对每个粒子进行预测，然后对粒子进行评价，越接近真实状态的粒子其权重越大。根据粒子权重对粒子进行筛选，筛选过程中，既要大量保留权重大的粒子，又要有一小部分权重小的粒子（即重采样）。将重采样后的粒子代入状态转移矩阵生产下一个状态，不断重复得到 $P\text{Center}_k$ 。 $u(\lambda_k)$ 取 $P\text{Center}_k$ 中概率最大的状态作为其的输出。若概率相同，令直行的优先级高于左转，左转的优先级高于右转。

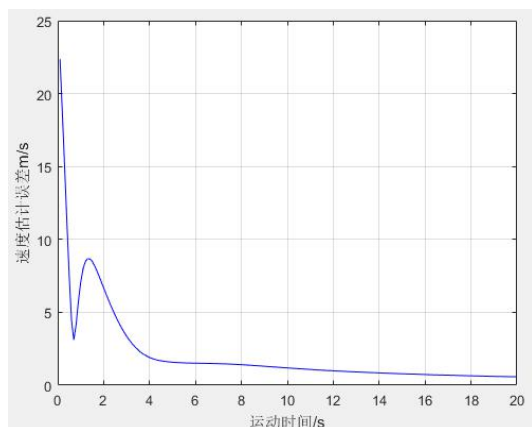
得到 $u(\lambda_k)$ 后，用情况一的方法对目标进行跟踪，并得到某次目标轨迹跟踪图（图四）、位置偏差图（图五）、速度偏差图（图六）。由图四得，滤波估计状态较好地跟踪了目标；从图五、六发现，位置、速度偏差都得到显著减小，并保持在一定较小的范围内。



图四 某次目标轨迹跟踪图



图五 位置偏差图



图六 速度偏差图